

## **Prevalence of bacteria resistance to antiseptic and antibiotic agents in the air at several Tehran subway stations**

**Sepideh Raihani, Jamileh Norouzi \*, Abas Akhavan Sepahi**

*Department of Microbiology, School of Biology Sciences, North Tehran Branch, Islamic Azad University, Tehran, IR Iran*

(Received: 2015/12/27      Accept:2016/07/2)

### **Abstract**

**Background:** Bioaerosols are suspended particles in air that contain organic compounds or microorganisms which moved by air flow or other physical factors and can transmit microorganisms, especially pathogens. The purpose of this study was to survey of resistance bacteria to disinfectants and antibiotics in the air at several subway stations.

**Materials and Methods:** In this study, sampling was performed in the air subway stations. After bacterial species identification, antibiotic resistance against various antimicrobial agents was performed by disk diffusion and broth dilution methods. The presence of *qacA/B* gene was studied in sensitive and resistant *S. aureus* and *E. coli* strains by PCR methods.

**Results:** In the current study, the prevalence of gram negative strains were lower than gram positive strains. Moreover, most strains were *S. aureus* and *E. faecalis* and the latest isolates were *E. coli*, respectively. The highest and lowest prevalence of *qacA/B* genes were *S. aureus* (23%) and *E. coli* (7%).

**Conclusion:** Due to the presence of pathogenic strains that can cause illness, it is necessary that cleaning to be done in subway stations using combinations of strong disinfectant. With regard to the availability and ease of use of sodium hypochlorite, is recommended that 5% sodium hypochlorite to be used and the other detergents be used periodically in order to prevent resistant of bacteria.

**Keywords:** Bacteria, Antiseptic, Antibiotics, Subway.

\* Corresponding authors: Jamileh Norouzi  
E-mail: alm3370@yahoo.com

## فراوانی باکتری‌های مقاوم به مواد ضد عفونی کننده و آنتی‌بیوتیک‌ها در هوای ایستگاه‌های مترو در شهر تهران

سپیده ریحانی<sup>\*</sup>، جمیله نوروزی<sup>\*</sup>، عباس اخوان سپهی

گروه میکروبیولوژی، دانشکده علوم زیستی، واحد تهران شمال، دانشگاه آزاد اسلامی، تهران، ایران

تاریخ پذیرش مقاله: ۱۳۹۵/۴/۱۲

تاریخ دریافت مقاله: ۱۳۹۴/۱۰/۶

### چکیده:

**سابقه و هدف:** ذرات ریزیستی، ذرات معلق و موجود در هوای است که حاوی میکروارگانیسم‌ها با ترکیب‌های آلی هستند که با جریان باد، تغییرهای جریان‌ها و عوامل دیگر فیزیکی جایه‌جا می‌شوند و می‌توانند باعث انتقال میکروارگانیسم‌ها به خصوص عوامل بیماریزا شوند. هدف از این مطالعه، بررسی باکتری مقاوم به مواد ضد عفونی کننده و آنتی‌بیوتیک‌ها در هوای ایستگاه‌های مختلف مترو بوده است.

**مواد و روش‌ها:** در این مطالعه از هوای جاری در ایستگاه مترو و از سطوح سکو و صندلی، نمونه برداری انجام شد. پس از تعیین جنس و گونه باکتری‌های به دست آمده، مقاومت آنتی‌بیوتیکی در برابر عوامل ضد میکروبی مختلف با استفاده از روش انتشار از ژل و رقت‌سازی در لوله انجام شد. وجود ژن *qacA/B* در سویه‌های حساس و مقاوم *E. Coli* و *S. aureus* با روش PCR بررسی شد.

**یافته‌ها:** در مطالعه حاضر فراوانی سویه‌های گرم منفی کمتر از سویه‌های گرم مثبت بود به طوری که بیشترین سویه‌ها به ترتیب *S. aureus* و *E. faecalis* آن‌ها *E. coli* بود. ۲ درصد از سویه‌های *S. aureus* در آزمون کربی باثر به عنوان *MRSA* در نظر گرفته شدند. بیشترین و کمترین فراوانی ژن *qacA/B* به ترتیب در سویه‌های *S. aureus* (۳۲ درصد) و *E. coli* (۷ درصد) بود.

**نتیجه‌گیری:** وجود باکتری‌های مقاوم که می‌توانند ایجاد بیماری کنند، جای نگرانی دارد و اقدام‌های لازم برای کاهش آن‌ها باید از این باکتری‌ها توصیه می‌شود.

**واژگان کلیدی:** باکتری، مواد ضد عفونی کننده، آنتی‌بیوتیک، مترو

### مقدمه:

گازهای منواکسیدکربن، هیدروکربن‌های آروماتیک (PAHs) و فلزات سنگین مستحبش شدنده (۷-۸). مطالعه‌های کمی و کیفی زیادی در رابطه با آلاینده‌های بیولوژیک منتقل شده از هوای در محیط‌های مختلفی مانند بیمارستان‌ها، مدارس، خانه‌های مسکونی و سایر مناطق انجام شده است، اما مطالعه‌ها و اطلاعات محدودی در رابطه با اندازه‌گیری این آلاینده‌های بیولوژیکی انتقال یافته از طریق مترو وجود دارد (۹-۱۰). به طور کلی، آلاینده‌های بیولوژیکی انتقال یافته از طریق هوای شامل باکتری‌ها، قارچ‌ها، ویروس‌ها و ریزگردها هستند (۱۱-۱۲). از این آلاینده‌های بیولوژیکی، باکتری‌ها به دلیل توانایی تشکیل اسپور و تحمل شرایط نامطلوب محیطی و بنابراین بقا در این شرایط می‌توانند موجب بیماری‌های

نویسنده مسئول: جمیله نوروزی

پست الکترونیک: alm3370@yahoo.com

(Sاخت شرکت مرک کشور آلمان) به عنوان محیط کشت پایه استفاده شد. نمونه‌های برداشت شده به آزمایشگاه منتقل شدند و به مدت ۲۴ تا ۴۸ ساعت در دمای  $0/5 \pm 0/5$  درجه سلسیوس قرار داده و سپس از نظر رشد باکتری‌ها بررسی شدند. تعداد کلی‌ها، شمارش و به صورت واحد تشکیل‌دهنده کلینی CFU/m<sup>3</sup> استاندارد (Colony Forming Unit) ثبت شد. همچنین نمونه‌برداری از سطوح، در ابعاد  $10 \times 10$  سانتی متر انجام شد. برای شناسایی کلینی‌های رشد یافته از تست‌های استاندارد بیوژنیمایی و میکروبیولوژی مانند رنگ‌آمیزی گرم، کاتالاز، اکسیداز، DNase، بایل اسکولین، اووه‌آز، مقاومت به دیسک نووبیوسین و باستراتین، مصرف قندها استفاده شد.

آزمون انتشار از دیسک برای آنتی‌بیوتیک‌های ونکومایسین، اریتروماسین، آمپی‌سیلین، سفتازیدیم، سافتاکسیم، سفتراکسیم، (کواموکسی کلاو) و سفتازیدیم همراه با اسید کلاولاوایک (Mast, UK) روی محیط مولر هیلتون آگار (Merck, Germany) و براساس دستوار عمل استاندارد آزمایشگاه و بالین (CLSI) انجام شد. برای بررسی ماده ضد عفنونی کننده از هیپوکلریت سدیم (سفید کننده خانگی) استفاده شد. به این ترتیب که از این ماده، غلظت‌های  $0/2$  درصد،  $2$  درصد،  $5$  درصد،  $10$  درصد،  $20$  درصد،  $40$  درصد،  $60$  درصد،  $80$  درصد،  $100$  درصد،  $120$  درصد،  $140$  درصد،  $160$  درصد،  $180$  درصد،  $200$  درصد،  $220$  درصد،  $240$  درصد،  $260$  درصد،  $280$  درصد،  $300$  درصد،  $320$  درصد،  $340$  درصد،  $360$  درصد،  $380$  درصد،  $400$  درصد،  $420$  درصد،  $440$  درصد،  $460$  درصد،  $480$  درصد،  $500$  درصد،  $520$  درصد،  $540$  درصد،  $560$  درصد،  $580$  درصد،  $600$  درصد،  $620$  درصد،  $640$  درصد،  $660$  درصد،  $680$  درصد،  $700$  درصد،  $720$  درصد،  $740$  درصد،  $760$  درصد،  $780$  درصد،  $800$  درصد،  $820$  درصد،  $840$  درصد،  $860$  درصد،  $880$  درصد،  $900$  درصد،  $920$  درصد،  $940$  درصد،  $960$  درصد،  $980$  درصد،  $1000$  درصد،  $1020$  درصد،  $1040$  درصد،  $1060$  درصد،  $1080$  درصد،  $1100$  درصد،  $1120$  درصد،  $1140$  درصد،  $1160$  درصد،  $1180$  درصد،  $1200$  درصد،  $1220$  درصد،  $1240$  درصد،  $1260$  درصد،  $1280$  درصد،  $1300$  درصد،  $1320$  درصد،  $1340$  درصد،  $1360$  درصد،  $1380$  درصد،  $1400$  درصد،  $1420$  درصد،  $1440$  درصد،  $1460$  درصد،  $1480$  درصد،  $1500$  درصد،  $1520$  درصد،  $1540$  درصد،  $1560$  درصد،  $1580$  درصد،  $1600$  درصد،  $1620$  درصد،  $1640$  درصد،  $1660$  درصد،  $1680$  درصد،  $1700$  درصد،  $1720$  درصد،  $1740$  درصد،  $1760$  درصد،  $1780$  درصد،  $1800$  درصد،  $1820$  درصد،  $1840$  درصد،  $1860$  درصد،  $1880$  درصد،  $1900$  درصد،  $1920$  درصد،  $1940$  درصد،  $1960$  درصد،  $1980$  درصد،  $2000$  درصد،  $2020$  درصد،  $2040$  درصد،  $2060$  درصد،  $2080$  درصد،  $2100$  درصد،  $2120$  درصد،  $2140$  درصد،  $2160$  درصد،  $2180$  درصد،  $2200$  درصد،  $2220$  درصد،  $2240$  درصد،  $2260$  درصد،  $2280$  درصد،  $2300$  درصد،  $2320$  درصد،  $2340$  درصد،  $2360$  درصد،  $2380$  درصد،  $2400$  درصد،  $2420$  درصد،  $2440$  درصد،  $2460$  درصد،  $2480$  درصد،  $2500$  درصد،  $2520$  درصد،  $2540$  درصد،  $2560$  درصد،  $2580$  درصد،  $2600$  درصد،  $2620$  درصد،  $2640$  درصد،  $2660$  درصد،  $2680$  درصد،  $2700$  درصد،  $2720$  درصد،  $2740$  درصد،  $2760$  درصد،  $2780$  درصد،  $2800$  درصد،  $2820$  درصد،  $2840$  درصد،  $2860$  درصد،  $2880$  درصد،  $2900$  درصد،  $2920$  درصد،  $2940$  درصد،  $2960$  درصد،  $2980$  درصد،  $3000$  درصد،  $3020$  درصد،  $3040$  درصد،  $3060$  درصد،  $3080$  درصد،  $3100$  درصد،  $3120$  درصد،  $3140$  درصد،  $3160$  درصد،  $3180$  درصد،  $3200$  درصد،  $3220$  درصد،  $3240$  درصد،  $3260$  درصد،  $3280$  درصد،  $3300$  درصد،  $3320$  درصد،  $3340$  درصد،  $3360$  درصد،  $3380$  درصد،  $3400$  درصد،  $3420$  درصد،  $3440$  درصد،  $3460$  درصد،  $3480$  درصد،  $3500$  درصد،  $3520$  درصد،  $3540$  درصد،  $3560$  درصد،  $3580$  درصد،  $3600$  درصد،  $3620$  درصد،  $3640$  درصد،  $3660$  درصد،  $3680$  درصد،  $3700$  درصد،  $3720$  درصد،  $3740$  درصد،  $3760$  درصد،  $3780$  درصد،  $3800$  درصد،  $3820$  درصد،  $3840$  درصد،  $3860$  درصد،  $3880$  درصد،  $3900$  درصد،  $3920$  درصد،  $3940$  درصد،  $3960$  درصد،  $3980$  درصد،  $4000$  درصد،  $4020$  درصد،  $4040$  درصد،  $4060$  درصد،  $4080$  درصد،  $4100$  درصد،  $4120$  درصد،  $4140$  درصد،  $4160$  درصد،  $4180$  درصد،  $4200$  درصد،  $4220$  درصد،  $4240$  درصد،  $4260$  درصد،  $4280$  درصد،  $4300$  درصد،  $4320$  درصد،  $4340$  درصد،  $4360$  درصد،  $4380$  درصد،  $4400$  درصد،  $4420$  درصد،  $4440$  درصد،  $4460$  درصد،  $4480$  درصد،  $4500$  درصد،  $4520$  درصد،  $4540$  درصد،  $4560$  درصد،  $4580$  درصد،  $4600$  درصد،  $4620$  درصد،  $4640$  درصد،  $4660$  درصد،  $4680$  درصد،  $4700$  درصد،  $4720$  درصد،  $4740$  درصد،  $4760$  درصد،  $4780$  درصد،  $4800$  درصد،  $4820$  درصد،  $4840$  درصد،  $4860$  درصد،  $4880$  درصد،  $4900$  درصد،  $4920$  درصد،  $4940$  درصد،  $4960$  درصد،  $4980$  درصد،  $5000$  درصد،  $5020$  درصد،  $5040$  درصد،  $5060$  درصد،  $5080$  درصد،  $5100$  درصد،  $5120$  درصد،  $5140$  درصد،  $5160$  درصد،  $5180$  درصد،  $5200$  درصد،  $5220$  درصد،  $5240$  درصد،  $5260$  درصد،  $5280$  درصد،  $5300$  درصد،  $5320$  درصد،  $5340$  درصد،  $5360$  درصد،  $5380$  درصد،  $5400$  درصد،  $5420$  درصد،  $5440$  درصد،  $5460$  درصد،  $5480$  درصد،  $5500$  درصد،  $5520$  درصد،  $5540$  درصد،  $5560$  درصد،  $5580$  درصد،  $5600$  درصد،  $5620$  درصد،  $5640$  درصد،  $5660$  درصد،  $5680$  درصد،  $5700$  درصد،  $5720$  درصد،  $5740$  درصد،  $5760$  درصد،  $5780$  درصد،  $5800$  درصد،  $5820$  درصد،  $5840$  درصد،  $5860$  درصد،  $5880$  درصد،  $5900$  درصد،  $5920$  درصد،  $5940$  درصد،  $5960$  درصد،  $5980$  درصد،  $6000$  درصد،  $6020$  درصد،  $6040$  درصد،  $6060$  درصد،  $6080$  درصد،  $6100$  درصد،  $6120$  درصد،  $6140$  درصد،  $6160$  درصد،  $6180$  درصد،  $6200$  درصد،  $6220$  درصد،  $6240$  درصد،  $6260$  درصد،  $6280$  درصد،  $6300$  درصد،  $6320$  درصد،  $6340$  درصد،  $6360$  درصد،  $6380$  درصد،  $6400$  درصد،  $6420$  درصد،  $6440$  درصد،  $6460$  درصد،  $6480$  درصد،  $6500$  درصد،  $6520$  درصد،  $6540$  درصد،  $6560$  درصد،  $6580$  درصد،  $6600$  درصد،  $6620$  درصد،  $6640$  درصد،  $6660$  درصد،  $6680$  درصد،  $6700$  درصد،  $6720$  درصد،  $6740$  درصد،  $6760$  درصد،  $6780$  درصد،  $6800$  درصد،  $6820$  درصد،  $6840$  درصد،  $6860$  درصد،  $6880$  درصد،  $6900$  درصد،  $6920$  درصد،  $6940$  درصد،  $6960$  درصد،  $6980$  درصد،  $7000$  درصد،  $7020$  درصد،  $7040$  درصد،  $7060$  درصد،  $7080$  درصد،  $7100$  درصد،  $7120$  درصد،  $7140$  درصد،  $7160$  درصد،  $7180$  درصد،  $7200$  درصد،  $7220$  درصد،  $7240$  درصد،  $7260$  درصد،  $7280$  درصد،  $7300$  درصد،  $7320$  درصد،  $7340$  درصد،  $7360$  درصد،  $7380$  درصد،  $7400$  درصد،  $7420$  درصد،  $7440$  درصد،  $7460$  درصد،  $7480$  درصد،  $7500$  درصد،  $7520$  درصد،  $7540$  درصد،  $7560$  درصد،  $7580$  درصد،  $7600$  درصد،  $7620$  درصد،  $7640$  درصد،  $7660$  درصد،  $7680$  درصد،  $7700$  درصد،  $7720$  درصد،  $7740$  درصد،  $7760$  درصد،  $7780$  درصد،  $7800$  درصد،  $7820$  درصد،  $7840$  درصد،  $7860$  درصد،  $7880$  درصد،  $7900$  درصد،  $7920$  درصد،  $7940$  درصد،  $7960$  درصد،  $7980$  درصد،  $8000$  درصد،  $8020$  درصد،  $8040$  درصد،  $8060$  درصد،  $8080$  درصد،  $8100$  درصد،  $8120$  درصد،  $8140$  درصد،  $8160$  درصد،  $8180$  درصد،  $8200$  درصد،  $8220$  درصد،  $8240$  درصد،  $8260$  درصد،  $8280$  درصد،  $8300$  درصد،  $8320$  درصد،  $8340$  درصد،  $8360$  درصد،  $8380$  درصد،  $8400$  درصد،  $8420$  درصد،  $8440$  درصد،  $8460$  درصد،  $8480$  درصد،  $8500$  درصد،  $8520$  درصد،  $8540$  درصد،  $8560$  درصد،  $8580$  درصد،  $8600$  درصد،  $8620$  درصد،  $8640$  درصد،  $8660$  درصد،  $8680$  درصد،  $8700$  درصد،  $8720$  درصد،  $8740$  درصد،  $8760$  درصد،  $8780$  درصد،  $8800$  درصد،  $8820$  درصد،  $8840$  درصد،  $8860$  درصد،  $8880$  درصد،  $8900$  درصد،  $8920$  درصد،  $8940$  درصد،  $8960$  درصد،  $8980$  درصد،  $9000$  درصد،  $9020$  درصد،  $9040$  درصد،  $9060$  درصد،  $9080$  درصد،  $9100$  درصد،  $9120$  درصد،  $9140$  درصد،  $9160$  درصد،  $9180$  درصد،  $9200$  درصد،  $9220$  درصد،  $9240$  درصد،  $9260$  درصد،  $9280$  درصد،  $9300$  درصد،  $9320$  درصد،  $9340$  درصد،  $9360$  درصد،  $9380$  درصد،  $9400$  درصد،  $9420$  درصد،  $9440$  درصد،  $9460$  درصد،  $9480$  درصد،  $9500$  درصد،  $9520$  درصد،  $9540$  درصد،  $9560$  درصد،  $9580$  درصد،  $9600$  درصد،  $9620$  درصد،  $9640$  درصد،  $9660$  درصد،  $9680$  درصد،  $9700$  درصد،  $9720$  درصد،  $9740$  درصد،  $9760$  درصد،  $9780$  درصد،  $9800$  درصد،  $9820$  درصد،  $9840$  درصد،  $9860$  درصد،  $9880$  درصد،  $9900$  درصد،  $9920$  درصد،  $9940$  درصد،  $9960$  درصد،  $9980$  درصد،  $10000$  درصد،  $10020$  درصد،  $10040$  درصد،  $10060$  درصد،  $10080$  درصد،  $10100$  درصد،  $10120$  درصد،  $10140$  درصد،  $10160$  درصد،  $10180$  درصد،  $10200$  درصد،  $10220$  درصد،  $10240$  درصد،  $10260$  درصد،  $10280$  درصد،  $10300$  درصد،  $10320$  درصد،  $10340$  درصد،  $10360$  درصد،  $10380$  درصد،  $10400$  درصد،  $10420$  درصد،  $10440$  درصد،  $10460$  درصد،  $10480$  درصد،  $10500$  درصد،  $10520$  درصد،  $10540$  درصد،  $10560$  درصد،  $10580$  درصد،  $10600$  درصد،  $10620$  درصد،  $10640$  درصد،  $10660$  درصد،  $10680$  درصد،  $10700$  درصد،  $10720$  درصد،  $10740$  درصد،  $10760$  درصد،  $10780$  درصد،  $10800$  درصد،  $10820$  درصد،  $10840$  درصد،  $10860$  درصد،  $10880$  درصد،  $10900$  درصد،  $10920$  درصد،  $10940$  درصد،  $10960$  درصد،  $10980$  درصد،  $11000$  درصد،  $11020$  درصد،  $11040$  درصد،  $11060$  درصد،  $11080$  درصد،  $11100$  درصد،  $11120$  درصد،  $11140$  درصد،  $11160$  درصد،  $11180$  درصد،  $11200$  درصد،  $11220$  درصد،  $11240$  درصد،  $11260$  درصد،  $11280$  درصد،  $11300$  درصد،  $11320$  درصد،  $11340$  درصد،  $11360$  درصد،  $11380$  درصد،  $11400$  درصد،  $11420$  درصد،  $11440$  درصد،  $11460$  درصد،  $11480$  درصد،  $11500$  درصد،  $11520$  درصد،  $11540$  درصد،  $11560$  درصد،  $11580$  درصد،  $11600$  درصد،  $11620$  درصد،  $11640$  درصد،  $11660$  درصد،  $11680$  درصد،  $11700$  درصد،  $11720$  درصد،  $11740$  درصد،  $11760$  درصد،  $11780$  درصد،  $11800$  درصد،  $11820$  درصد،  $11840$  درصد،  $11860$  درصد،  $11880$  درصد،  $11900$  درصد،  $11920$  درصد،  $11940$  درصد،  $11960$  درصد،  $11980$  درصد،  $12000$  درصد،  $12020$  درصد،  $12040$  درصد،  $12060$  درصد،  $12080$  درصد،  $12100$  درصد،  $12120$  درصد،  $12140$  درصد،  $12160$  درصد،  $12180$  درصد،  $12200$  درصد،  $12220$  درصد،  $12240$  درصد،  $12260$  درصد،  $12280$  درصد،  $12300$  درصد،  $12320$  درصد،  $12340$  درصد،  $12360$  درصد،  $12380$  درصد،  $12400$  درصد،  $12420$  درصد،  $12440$  درصد،  $12460$  درصد،  $12480$  درصد،  $12500$  درصد،  $12520$  درصد،  $12540$  درصد،  $12560$  درصد،  $12580$  درصد،  $12600$  درصد،  $12620$  درصد،  $12640$  درصد،  $12660$  درصد،  $12680$  درصد،  $12700$  درصد،  $12720$  درصد،  $12740$  درصد،  $12760$  درصد،  $12780$  درصد،  $12800$  درصد،  $12820$  درصد،  $12840$  درصد،  $12860$  درصد،  $12880$  درصد،  $12900$  درصد،  $12920$  درصد،  $12940$  درصد،  $12960$  درصد،  $12980$  درصد،  $13000$  درصد،  $13020$  درصد،  $13040$  درصد،  $13060$  درصد،  $13080$  درصد،  $13100$  درصد،  $13120$  درصد،  $13140$  درصد،  $13160$  درصد،  $13180$  درصد،  $13200$  درصد،  $13220$  درصد،  $13240$  درصد،  $13260$  درصد،  $13280$  درصد،  $13300$  درصد،  $13320$  درصد،  $13340$  درصد،  $13360$  درصد،  $13380$  درصد،  $13400$  درصد،  $13420$  درصد،  $13440$  درصد،  $13460$  درصد،  $13480$  درصد،  $13500$  درصد،  $13520$  درصد،  $13540$  درصد،  $13560$  درصد،  $13580$  درصد،  $13600$  درصد،  $13620$  درصد،  $13640$  درصد،  $13660$  درصد،  $13680$  درصد،  $13700$  درصد،  $13720$  درصد،  $13740$  درصد،  $13760$  درصد،  $13780$  درصد،  $13800$  درصد،  $13820$  درصد،  $13840$  درصد،  $13860$  درصد،  $13880$  درصد،  $13900$  درصد،  $13920$  درصد،  $13940$  درصد،  $13960$  درصد،  $13980$  درصد،  $14000$  درصد،  $14020$  درصد،  $14040$  درصد،  $14060$  درصد،  $14080$  درصد،  $14100$  درصد،  $14120$  درصد،  $14140$  درصد،  $14160$  درصد،  $14180$  درصد،  $14200$  درصد،  $14220$  درصد،  $14240$  درصد،  $14260$  درصد،  $14280$  درصد،  $14300$  درصد،  $14320$  درصد،  $14340$  درصد،  $14360$  درصد،  $14380$  درصد،  $14400$  درصد،  $14420$  درصد،  $14440$  درصد،  $14460$  درصد،  $14480$  درصد،  $14500$  درصد،  $14520$  درصد،  $14540$  درصد،  $14560$  درصد،  $14580$  درصد،  $14600$  درصد،  $14620$  درصد،  $14640$  درصد،  $14660$  درصد،  $14680$  درصد،  $14700$  درصد،  $14720$  درصد،  $14740$  درصد،  $14760$  درصد،  $14780$  درصد،  $14800$  درصد،  $14820$  درصد،  $14840$  درصد،  $14860$  درصد،  $14880$  درصد،  $14900$  درصد،  $14920$  درصد،  $14940$  درصد،  $14960$  درصد،  $14980$  درصد،  $15000$  درصد،  $15020$  درصد،  $15040$  درصد،  $15060$  درصد،  $15080$  درصد،  $15100$  درصد،  $15120$  درصد،  $15140$  درصد،  $15160$  درصد،  $15180$  درصد،  $15200$  درصد،  $15220$  درصد،  $15240$  درصد،  $15260$  درصد،  $15280$  درصد،  $15300$  درصد،  $15320$  درصد،  $15340$  درصد،  $15360$  درصد،  $15380$  درصد،  $15400$  درصد،  $15420$  درصد،  $15440$  درصد،  $15460$  درصد،  $15480$  درصد،  $15500$  درصد،  $15520$  درصد،  $15540$  درصد،  $15560$  درصد،  $15580$  درصد،  $15600$  درصد،  $15620$  درصد،  $15640$  درصد،  $15660$  درصد،  $15680$  درصد،  $15700$  درصد،  $15$

**یافته‌ها:**

۴۱۷ در ژل آگارز نشان دهنده وجود ژن qacA/B است. آنالیز مولکولی ژن S. aureus در ۲۳ درصد سویه‌های E. coli حامل ژن مذکور بودند.

**بحث:**

با توجه به نتایج بدست آمده، بیشترین آلودگی جریان هوا مربوط به سکوی ایستگاه‌های امام خمینی با  $24 \text{ CFU}/m^3$  و تجریش با  $24 \text{ CFU}/m^3$  بوده است. کمترین میزان آلودگی مربوط به سکوی ایستگاه تهرانپارس با  $18 \text{ CFU}/m^3$  و صادقیه با  $20 \text{ CFU}/m^3$  بوده است. دلیل بالا بودن غلظت آلودگی باکتری‌ای در سکوی ایستگاه‌های ذکر شده را می‌توان به بالا بودن تراکم جمیعت در این نقاط دانست و این واقعیت که سکوی این ایستگاه‌ها در عمق بیشتری در زیر زمین واقع شده است، نسبت دارد. عمق زیاد ایستگاه‌های مترو امام خمینی و تجریش موجب تهویه نامناسب و جایه‌جایی کم هوا در این قسمت‌ها است. پایین بودن غلظت آلودگی در سکوی ایستگاه تهرانپارس و صادقیه به دلیل کم بودن عمق روزمنی بودن سکوی این ایستگاه‌ها و بالطبع، جایه‌جایی آزادانه هوا در این نقاط است. مطالعه‌های محدودی در رابطه با سنجش آلودگی باکتری‌ای در ایستگاه‌های مترو انجام شده است. در مطالعه حاضر میانگین غلظت آلودگی در چهار ایستگاه مورد مطالعه  $24 \text{ CFU}/m^3$  -  $18 \text{ CFU}/m^3$  تخمین زده شد. در مطالعه مشابهی که در دو ایستگاه مترو در قاهره مصر انجام شده است، میانگین غلظت

از هر یک از چهار نقطه نمونه‌برداری شده، تعداد  $354 \text{ CFU}$  به دست آمد. کلیه از شد کرده در هر پلیت نمونه‌برداری شده از جریان هوا، شمارش کلی در هر پلیت نمونه‌برداری شده براساس ۱۰۰ سانتی‌متر مربع بیانشد. تراکم باکتری‌ها در هوای آزاد به طور میانگین در چهار ایستگاه  $28 \text{ CFU}/m^3$  و بیشترین تراکم باکتری که مربوط به هوای آزاد ایستگاه امام خمینی بود. حداقل تعداد کلی نمونه‌برداری شده از سطح همین ایستگاه  $35 \text{ CFU}/m^3$  بود. نتایج مربوط به غلظت باکتری‌ها به روش پلیت‌گذاری در جدول ۱ نشان داده شده است. براساس آزمایش‌های افتراقی انجام شده، در مجموع ۱۰ جنس و گونه مختلف از باکتری‌ها شناسایی شدند.

انواع جنس‌های باکتری‌ای جداسازی شده و میانگین آن‌ها بر حسب  $\text{CFU}/m^3$  در طول دوره نمونه‌برداری به ترتیب نقاط نمونه‌برداری در جدول ۲ آورده شده است. بیشترین درصد جنس باکتری‌های ایزوله شده به ترتیب استافیلوکوکوس اورئوس ( $42/42$  درصد)، انتروكوکوس فکالیس ( $4/37$  درصد)، استافیلوکوکوس ساپروفیتیکوس ( $8/42$  درصد)، کورینه باکتریوم ( $6/42$  درصد) بود. سویه‌های دیگری که در این مطالعه با فراوانی کمتر از  $4$  درصد مشاهده شدند، به ترتیب عبارتند از S. epidermidis، Bacillus spp., Micrococcus spp., E. coli، Klebsiella spp.، Enterobacter spp..

جدول ۲- میانگین تعداد کلی باکتری‌ای ایزوله شده در نقاط نمونه‌برداری شده مترو

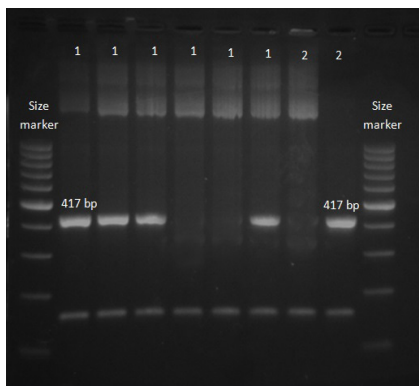
تعداد کلی در متر مکعب هوا و در سواب گرفته شده از سطوح								جنس باکتری‌ای ایزوله شده	
تهرانپارس		تجرجیش		صادقیه		امام خمینی			
سطح	هوای سطح	سطح	هوای سطح	سطح	هوای سطح	سطح	هوای سطح		
$2/4 \times 10^5$	۲۸	$3 \times 10^5$	۲۴	$2/8 \times 10^5$	۲۸	$3 \times 10^5$	۲۴	S. aureus	
$3/2 \times 10^3$	۱۸	$2/8 \times 10^4$	۱۸	$3/0 \times 10^4$	۱۶	$1/8 \times 10^4$	۱۸	E. faecalis	
$1/2 \times 10^3$	۱۲	$2/2 \times 10^3$	۱۲	$2/2 \times 10^3$	۱۲	$2/6 \times 10^3$	۱۰	S. saprophyticus	
$2/4 \times 10^5$	۶	$3/0 \times 10^5$	۶	$2/0 \times 10^5$	۸	$2/5 \times 10^5$	۶	E. coli	
$2/5 \times 10^3$	۴	--	--	$1/5 \times 10^3$	۴	$2/0 \times 10^3$	۴	Klebsiella spp	

آلودگی در ایستگاه زیرزمینی  $2/94 \times 10^3 \text{ CFU}/m^3$  و در ایستگاه روزمنی  $2/81 \times 10^3 \text{ m}^3$  بوده است (۱۹). در مطالعه دیگری که در یکی از معابر زیرزمینی شهر توکیوی ژاپن انجام شده است، محدوده غلظت باکتری‌ها در محدوده  $150-1380 \text{ m}^3$  بوده است (۲۰). همچنین مطالعه‌ای در هنگ‌کنگ روی هوا دفاتر اداری سیستم تهویه طبعو انجام شد که میانگین بار باکتری‌ای را  $580 \text{ CFU}/m^3$  گزارش کرد (۲۱). مقدار آلودگی در مطالعه حاضر، خیلی پایین‌تر از مطالعه قاهره است. این تفاوت تراکم باکتری‌ها بین مطالعه‌های انجام شده و مطالعه حاضر می‌تواند ناشی از وضعیت بهداشت و سیستم تهویه موجود در ایستگاه‌های مترو و همچنین ناشی از تفاوت در تجهیزات مورد استفاده در نمونه‌گیری و تفاوت مدت زمان نمونه‌گیری باشد. در مطالعه حاضر، سویه استافیلوکوکوس اورئوس با

نتایج آزمون انتشار از ژل نشان داد که ۲ درصد سویه‌های استافیلوکوکوس اورئوس MRSA و بقیه حساس به اریتروماسین بودند. تمام سویه‌های انتروكوکوس به آنی بیوتیک‌های مورد استفاده مقاوم بودند. طبق دستورالعمل CLSI در سال ۲۰۱۴، سویه‌های استافیلوکوکوس اورئوس که نسبت به سفوکسیتین مقاوم بودند، سویه‌های MRSAs تشخیص داده شدند. ۲ درصد سویه‌های E. coli، به ESBL مقاومت نشان دادند و بقیه نسبت به آمپیسیلین حساس بودند. سویه‌های کلیسیلا نیز به همه داروها حساسیت نشان دادند. میزان حساسیت سویه‌های جدآ شده نسبت به غلظت‌های  $0/2$  درصد،  $2$  درصد،  $5$  درصد و  $10$  درصد از محلول سفیدکننده خانگی یا هیپوکلریت سدیم در جدول ۳ آمده است. وجود ژن qacA/B در تعدادی از سویه‌های مقاوم و حساس انجام شد. وجود ژن مذکور با ایجاد باند bp جدول ۳. حساسیت سویه‌های مورد ارزیابی در رقت‌های متفاوت هیپوکلریت سدیم

۰/۱۹۴ g/ml (درصد ۱۰)	۱/۰۹۷ g/ml (درصد ۵)	۰/۴۳۸ g/ml (درصد ۲)	۰/۲۱۹ g/ml (درصد ۱)	۰/۰۴ g/ml (درصد ۰/۲)	غلظت
عدم رشد	عدم رشد	عدم رشد	مشاهده رشد	مشاهده رشد	S. aureus
عدم رشد	عدم رشد	مشاهده رشد	مشاهده رشد	مشاهده رشد	E. faecalis
عدم رشد	عدم رشد	عدم رشد	عدم رشد	مشاهده رشد	E. coli
عدم رشد	عدم رشد	عدم رشد	عدم رشد	مشاهده رشد	Klebsiella. Spp

میانگین  $26 \text{ CFU}/\text{m}^3$  برای چهار ایستگاه مورد مطالعه سویه غالب در فضای بسته ایستگاه‌های متروی مورد مطالعه بود. غالب بودن باکتری‌های گرم مثبت در جریان هوا، در محیط‌های بسته طی مطالعه‌های مختلفی گزارش شده است. مستقر در اماکن عمومی مانند ایستگاه‌های مترو به طور مستمر و به صورت دوره‌ای پایش شوند. با وجود سویه‌های مقاوم به آنتی‌بیوتیک‌ها و با توجه به عوامل انتقالی مقاومت‌ها که باعث انتقال مقاومت بین سویه‌ها می‌شود، داشتن روشی صحیح در غفونت‌زدایی اماکن عمومی مانند ایستگاه مترو ضروری است. مناسب است ماده



تصویر ۱. نتیجه تکثیر ژن *qacA/B* در سویه‌های تحت بررسی. C<sup>+</sup>; اشريشيا كلى ATCC ۲۵۹۲۲ چاهک‌های شماره ۱، ۲، ۳ و ۴ به ترتیب سویه اشريشيا کلى جداسازی شده از ایستگاه مترو امام خمینی (ره)، صادقیه، تهرانپارس و تجریش، چاهک‌های شماره ۵، ۶ به ترتیب سویه استافیلوكوکوس اورئوس جداسازی شده از ایستگاه مترو امام خمینی (ره)، صادقیه، C<sup>+</sup>; استافیلوكوکوس اورئوس ATCC ۲۵۹۲۳ و M: مارکر ۱۰۰ جفت بازی (bp ۳۰۰۰-۱۰۰). Fermentas, GmbH, Germany.

ضدغونی کننده ماده‌ای باشد که به راحتی تهیه شده، مصرف شود و کمترین ضرر را برای محیط‌زیست (Biodegradation و Biocompatible) داشته باشد. آموزش کارکنان مرتبط با نظافت و انجام دوره‌های بازآموزی برای جلوگیری از انتشار سویه‌های پاتوژن ضروری به نظر می‌رسد.

### تشکر و قدردانی:

بدینوسیله تمامی مولفان از مدیریت و پرسنل ایستگاه‌های مترو امام خمینی (ره)، تجریش، صادقیه و تهرانپارس که ما را در انجام این پژوهه یاری رساندند و همچنین از گروه میکروبیولوژی دانشگاه آزاد اسلامی، واحد تهران شمال تقدير و تشکرمند شود.

### ملاحظات اخلاقی:

تمامی اقدام‌ها برای رعایت اخلاق در تهیه و استفاده از اطلاعات مقاله‌های دیگر برای به کارگیری در پژوهش فعلی از سوی نویسنده‌گان اتخاذ شد. این مقاله کد اخلاقی ندارد.

### تضاد و تعارض (Conflict of interest)

در بین نویسنده‌گان مقاله هیچ گونه تضاد و تعارضی وجود ندارد.

میانگین  $26 \text{ CFU}/\text{m}^3$  برای چهار ایستگاه مورد مطالعه سویه غالب در فضای بسته ایستگاه‌های متروی مورد مطالعه بود. غالباً بودن باکتری‌های گرم مثبت در مطالعه انجام شده در ایستگاه‌های مترو قاهره، Avad و همکاران گونه‌های استافیلوكوکوس را گونه‌های غالب ذکر کردند (۱۹). در مطالعه حاضر، ۲ درصد سویه‌های استافیلوكوکوس اورئوس MRSA و بقیه حساس به آنتروپومایسین بودند. تمام سویه‌های انتروپوکوکوس به آنتی‌بیوتیک‌های مورد استفاده مقاوم بودند. در مطالعه Genet و همکارانش در سال ۲۰۱۱ نشان داده شد که  $100 \text{ CFU}/\text{m}^3$  استافیلوكوکوس اورئوس در محیط بسته، به متی سیلین و  $82/8$  درصد آن‌ها به آمپی‌سیلین مقاومت داشتند (۲۲). در مطالعه حاضر نیز نشان داده شد غلظت موثر هیپوکلریت سدیم بر سویه‌های *E. coli*, *S. aureus*, *Klebsiella spp.* و *S. enterica* درصد است، در حالی که غلظت موثر هیپوکلریت سدیم برای انتروپوکوکوس فکالیس ۵ درصد و بیشتر است. در سال ۲۰۰۸ Fernandez و همکارانش، نشان دادند که غلظت  $25 \text{ µM}$  هیپوکلریت سدیم که معادل یک فنجان هیپوکلریت سدیم در  $250 \text{ µL}$  لیتر آب است استافیلوكوکهای MRSA را بعد از پنج دقیقه نابود می‌کند (۲۳). در مطالعه دیگری Altieri و همکارانش در سال ۲۰۱۳ اثر ضدغونی کردن مایکرووبو و هیپوکلریت سدیم را روی سویه‌های استافیلوكوکوس اورئوس مقاوم به متی سیلین بروزی کردند. مطالعه آن‌ها نشان داد که غلظت‌های ۱ درصد و ۲ درصد هیپوکلریت سدیم روی بیوفیلم سویه‌های MRSA موثر هستند (۲۴). در مطالعه Berber و همکارانش در سال ۲۰۰۶ که روی اثر ضد میکروبی غلظت‌های متفاوت هیپوکلریت سدیم ریم انتروپوکوکوس فکالیس مطالعه می‌کردند، نشان داد که هیپوکلریت سدیم  $25 \text{ µM}$  درصد روی انتروپوکوکوس فکالیس موثر است (۲۵). در مطالعه حاضر، در  $23 \text{ µM}$  درصد استافیلوكوکهایی که در غلظت  $5 \text{ µM}$  درصد رشد کرده بودند، دارای ژن *qacA/B* بودند. در مطالعه حاضر،  $23 \text{ µM}$  درصد سویه‌های استافیلوكوکوس اورئوس که در غلظت  $2 \text{ µM}$  درصد هیپوکلریت سدیم، رشد کمی داشتند، ژن *B* *qacA/B* را حمل می‌کردند. مطالعه حاضر براساس نتایج به دست آمده هم‌عرض مطالعه دیگران بوده است. ژن *B* *qacA/B* از گروه *qac* است که مسئول بیان پمپ‌های دفعی (Efflux pump) در غشاء سلولی هستند. بنابراین در معرض قرار گرفتن ترکیب‌های ضدغونی کننده می‌تواند باعث بیان این ژن، درنتیجه دفع ترکیب‌های مذکور از سلول شود. در نتیجه آن سلول باکتری نسبت به غلظت‌های قبلي که رشدش متوقف می‌شود می‌تواند رشد کند و برای عمل مهاری ضدغونی کننده باید از غلظت‌های بالاتر استفاده شود. با توجه به حضور ژن *qacA/B* در بعضی از سویه‌های استافیلوكوکوس اورئوس در این مطالعه و مطالعه‌های دیگران، شاید بتوان چنین نتیجه‌گیری کرد، وجود ژن مذکور به دلیل توانایی در بیان پمپ‌های دفعی می‌تواند باعث مقاومت در برای غلظت‌های معمول ضدغونی کننده‌ها شود. این مقاومت به دلیل افزایش دفع ترکیب‌های ضدغونی کننده از سلول‌ها است. با توجه به استفاده از اماکن عمومی مانند مترو و وجود افراد حامل پاتوژن بدون علامت در جامعه، با وجود مشاهده استفاده از سفیدکننده خانگی (ایتكس) در سیستم نظافت ایستگاه‌های مترو توصیه می‌شود به کارکنان بخش نظافت نحوه استفاده صحیح از این ماده شیمیایی و مواد ضدغونی کننده دیگر آموزش داده شود. در واقع تلاش شود تا غلظت‌های مناسبی از سفیدکننده خانگی استفاده شود. برای جلوگیری از مقاوم شدن باکتری‌ها به شوینده‌های مختلف، توصیه می‌شود به صورت دوره‌ای از این مواد استفاده شود.

### نتیجه‌گیری:

با توجه به غلظت آلدگی باکتریایی در فضای بسته ایستگاه‌ها (به طور میانگین CFU)

## منابع:

- Nieuwenhuijsena MJ, Go mez-Perales N. "Levels of particulate air pollution, its elemental composition, determinants and health effects in metro systems". *Atmospheric Environment* 2007; 41(37): 7995–8006.
- Centers for Disease Control and Prevention. Update: Investigation of bioterrorism-related anthrax and interim guidelines for exposure management and antimicrobial therapy. *JAMA* 2001; 286(18): 2226-2232.
- Dong S, Yao M. "Exposure assessment in Beijing, China: biological agents, ultrafine particles, and lead". *Environ Monit Assess* 2010; 170(1-4): 331-343.
- Hirvonen MR, Huttunen K, Roponen M. "Bacterial strains from moldy buildings are highly potent inducers of inflammatory and cytotoxic effects". *Indoor Air* 2005; 15 (9): 65-70.
- <http://www.cliffsnotes.com/sciences/biology/microbiology/control-of-microbial-growth/chemical-methods-of-control>
- Salma I, Weidinger T, Maenhaut W. "Time-resolved mass concentration, composition and sources of aerosol particles in a metropolitan underground railway station". *Atmospheric Environment* 2007; 41(37): pp.8391–8405.
- Fouchier RA, Bestebroer TM. "Detection of influenza A viruses from different species by PCR amplification of conserved sequences in the matrix gene". *Journal of Clinical Microbiology* 2000; 38(11): 4096-4101.
- Hawkey PM. "The growing burden of antimicrobial resistance". *Journal of Antimicrobial Chemotherapy*. 2008; 62 1:1-9.
- Jeffrey PO, Lim SF. "Airborne concentration of Bactria in a hospital environment in Singapore". *Water, Air, & Soil Pollution* 2003; 144(1-4): 333-341.
- Chillrud SN, Grass D, Ross JM, Coulibaly D, Slavkovich V, Epstein D, Sax SN, Pederson D, Johnson D, Sprengler JD, Kinney PL, Simpson HJ, Brandt-Rauf P. "Steel dust in the New York City subway system as a source of manganese, chromium, and iron exposures for transit workers". *Journal of Urban Health* 2005; 82(1): 33–42.
- Haqqi T, Zhao X. "Sequencing in the presence of betaine: Improvement in sequencing of the localized repeat sequence regions". *Journal of Biomolecular Techniques* 2002; 13(4): 265- 271.
- Stevens DL, Bisno AL. "Practice guidelines for the diagnosis and management of skin and soft-tissue infections". *Clinical Infectious Diseases* 2005; 41(10): 1373-1406.
- Duflo E, Hanna R.: Indoor air pollution, health and economic well-being. *SAPIEN S* Retrieved 2008; 20(10):108-24
- Shiohara N, Fernandez-Bremauntz A, Blanco S, Yanagisawa Y. "The commuters' exposure to volatile chemicals and carcinogenic risk in Mexico City". *Atmospheric Environment* 2005; 39(19): 3481–3489.
- Seaton A, Cherrie J, Dennekamp M, Donalson K, Hurley F, Tran L. "The London underground: dust and hazards to health". *Occupational and Environmental Medicine* 2005; 62(6): 355–62.
- Clinical and Laboratory Standards Institute. Performance Standards for Antimicrobial Susceptibility Testing; Twenty-Fifth Informational Supplement. M100-S25. 2015; 35(3): 44-50.
- Regnault B. "Universal ribotyping methods using a chemically labelled oligonucleotide probe mixture". *Research in Microbiology* 1997; 148: 649-659.
- Noguchi N, Hase M, Kitta M, Sasatsu M, Deguchi K, Kono M. "Antiseptic susceptibility and distribution of antiseptic-resistance genes in methicillin-resistant *Staphylococcus aureus*". *FEMS microbiology letters* 1999; 172(2):247-53
- Awad A, Hameed A. "Environmental study in subway metro stations in Cairo, Egypt". *Journal of Occupational Health* 2002; 44: 112-118.
- Kaoruko S, Takehito T, Keiko N, Masafumi W. "An evidential example of airborne bacteria in a crowded, underground public concourse in Tokyo". *Atmospheric Environment* 2005; 39(2): 337–341.
- Chan LY, Chan CY, Qin Y. "The effect of commuting microenvironment on commuter exposures to vehicular emission in Hong Kong". *Atmospheric Environment* 1999; 33(11): 1777–1787.
- Genet C, Kibru G, Tsegaye W. "Indoor air bacterial load and antibiotic susceptibility pattern of isolates in operating rooms and surgical wards at Jimma University specialized hospital, Southwest Ethiopia. Ethip". *Journal of Health Science* 2011; 21(1): 9-13.
- Fernandez-Bremauntz AA, Ashmore MR. "Exposure of commuters to carbon monoxide in Mexico City Measurement of in-vehicle concentrations". *Atmospheric Environment* 1995; 29(4):525–532.
- Altieri K, Sanita F, Machado A, Giampaolo E, Pavarina A. "Eradication of a mature methicillin-resistant *Staphylococcus aureus* (MRSA) biofilm from acrylic surface". *Brazilian Dental journal* 2013; 24(5): 487-491.
- Berber VB, Gomes A, Sena NT, Vianna ME, Feroz CC. "Efficacy of various concentrations *Enterococcus faecalis* within root canals and dental tubules". *International Endodontic Journal* 2006; 39: 10-17.